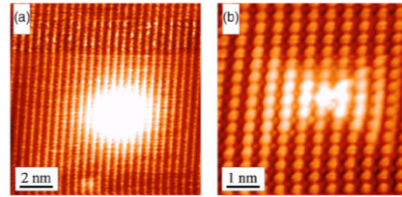
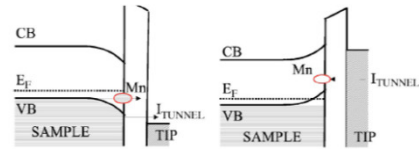


Cinética dos Gases

Motivação (?)

1



[Z. Ge, PhD Thesis, Notre Dame, 2007]

2

Por que os processos a baixas pressões (e em vácuo) são importantes para a deposição de filmes finos?

3

Gases e Vácuo

- Alta pressão e soluções (+ complexidade):
molécula \leftrightarrow molécula \leftrightarrow solvente \leftrightarrow superfície
- Simplicidade (baixa pressão):
molécula \leftrightarrow superfície

4

Processos em solução:
alta complexidade

Processos em baixas pressões:
mais simples

5

- como os gases participam dos processos de crescimento de filmes ?
- quais as propriedades específicas de gases (e de vapores) são mais importantes para o crescimento?

6

Cinética dos Gases

- Alguns pontos importantes....

7

Diagrama p-V-T

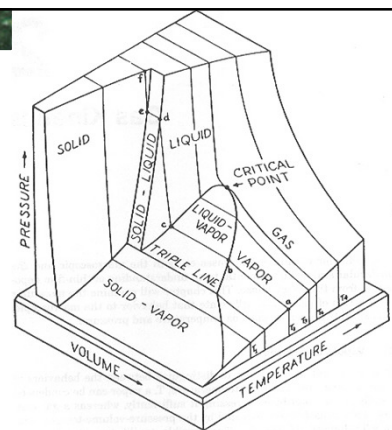
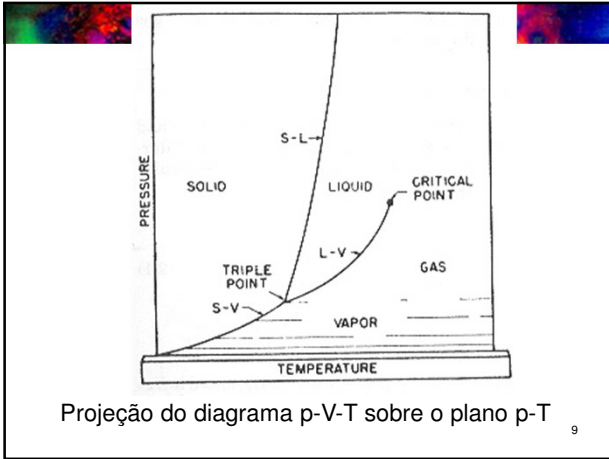


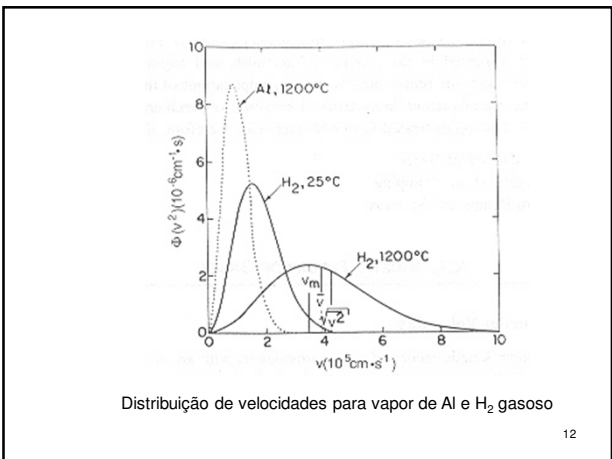
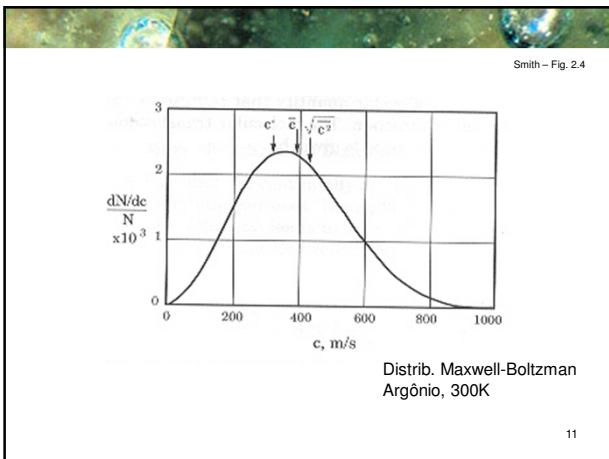
Diagrama p-V-T para uma quantidade fixa de material



Distribuição de velocidades

$$\frac{1}{N} \frac{dN}{dv} = 4\pi v^2 \left(\frac{m}{2\pi k_B T} \right)^{3/2} \times \exp\left(-\frac{(1/2)mv^2}{k_B T} \right)$$

$v(m/s); T(K); m(kg); k_B (1,38 \cdot 10^{-23} J/K)$



quantas moléculas atingem
uma superfície / $\text{cm}^2 \cdot \text{s}^{-1}$?

(gás (m); T (K))

taxa de deposição de filmes

13

Fluxo molecular incidente

$$J_i = \frac{1}{4} n \bar{v} = \frac{1}{4} n \sqrt{\frac{8RT}{\pi M}}$$

J_i - moléculas/($\text{m}^2 \cdot \text{s}$)
 n - moléculas/($\text{m}^3 \cdot \text{s}$)

14

Fluxo molecular incidente

$$p = nk_B T = n \left(\frac{1}{3} m \langle v^2 \rangle \right)$$

$$p \Leftrightarrow \bar{\epsilon}_i = \frac{1}{2} m \langle v^2 \rangle \Leftrightarrow \frac{3}{2} k_B T$$

pressão \Leftrightarrow energia cinética de translação \Leftrightarrow energia térmica

15

Fluxo molecular incidente /
Equação de Knudsen

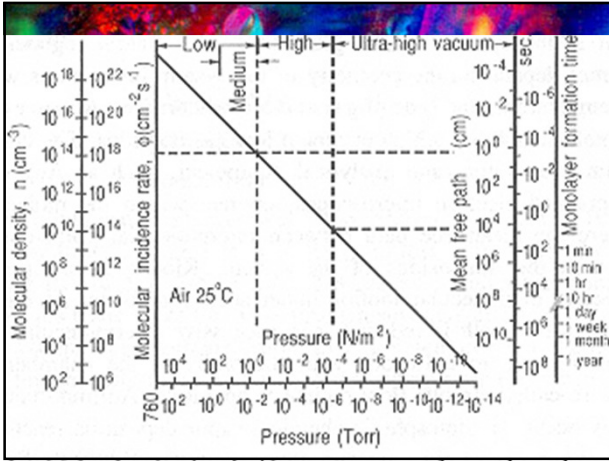
$$J_i \left(\frac{\text{moléc}}{\text{m}^2 \cdot \text{s}} \right) = \frac{N_A \cdot p}{\sqrt{2\pi M R T}} \quad (\text{SI})$$

$N_A = 6,02 \times 10^{23}$

$$J_i \left(\frac{\text{moléc}}{\text{cm}^2 \cdot \text{s}} \right) = 3,51 \times 10^{22} \frac{p}{\sqrt{M T}}$$

(torr, g, K)

16



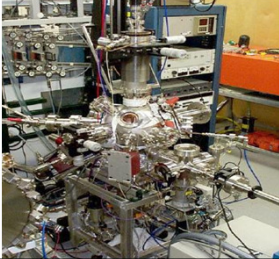
Equação de Knudsen / Deposição

$$J_r \left(\frac{\text{moléc}}{\text{m}^2 \cdot \text{s}} \right) = 1,67 \times 10^{16} \frac{dh (\mu\text{m} / \text{h}) \cdot \rho (\text{g} / \text{cm}^3)}{M (\text{g} / \text{mol})}$$

18

Exemplo

- Como estimar a máxima contaminação (H₂O residual) em MBE-GaAs ?



19

Exemplo

- Máxima contaminação (H₂O residual) em MBE-GaAs

Deposição		Jr (molec/cm ² .s)	Monoc/s	s/Monoc	Impurezas %	Referência
dh/dt (μm/h)	1	1,19E+15	1,19E+00	8,38E-01		Nível de dopagem
0,28 nm/s						5,00E+22 1,00E+18
2,8 Å/s						2,00E-05
Pressão residual H ₂ O						
p(torr)	Ji (molec/cm ² .s)	Monoc/s	s/Monoc		Impurezas %	
1,00E-06	4,78E+14	4,78E-01	2,09E+00		4,00E-01	59,957
1,00E-08	4,78E+12	4,78E-03	2,09E+02		4,00E-03	99,600
1,00E-10	4,78E+10	4,78E-05	2,09E+04		4,00E-05	99,996

1 monocamada = 1x10¹⁵(molec/cm²)

20



Sumário

Estudamos conceitos básicos sobre cinética de gases que são importantes para a deposição de filmes

- Fluxo molecular incidente
- Formação de monocamada – vácuo: interação molécula superfície (isolada).
- Processos CVD: importante regime de escoamento / uniformidade

21

[Lista de exercícios/pausa ou vácuo](#)

Tecnologia de Vácuo

23

- 
- por que vácuo ?
 - como (produzir e usar) vácuo ?

24

Vácuo

- Fundamental para a deposição de filmes de alta pureza (=> semicondutores)
- Exemplo anterior:
 $p \sim 10^{-10}$ torr / $1 \mu\text{m/h}$
=> 2×10^{18} impurezas/cm³ (~dopagem)

25

Próximos:

Tecnologia de Vácuo
Regimes de Escoamento
Tratamento de Superfícies

26

Tecnologia de Vácuo

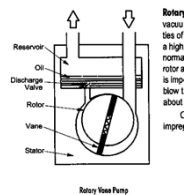
27

... do mais simples...

RV8 ROTARY VANE PUMP
 $9.7 \text{ m}^3 \text{ h}^{-1}$, $5.7 \text{ ft}^3 \text{ min}^{-1}$, 162.7 l min^{-1}



Course Pumps (atmosphere to 1 torr)



Rotary Vane Pump

Bomba mecânica – palhetas rotativas

28

STP MAGNETICALLY LEVITATED TURBOMOLECULAR PUMPS

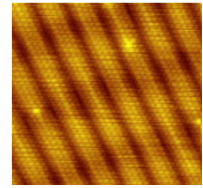
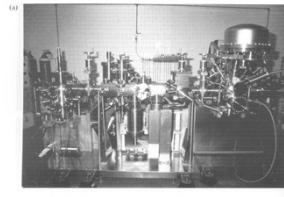
... ao mais sofisticado...



5-axis control The STP600, STP1000, STP2001 and all the high throughput pumps (H-C), utilise a full 5 active axis system with electromagnets for all bearings. This patented, fully active system allows an automatic balancing system to be used.

3

STM – microscópio de tunelamento



30

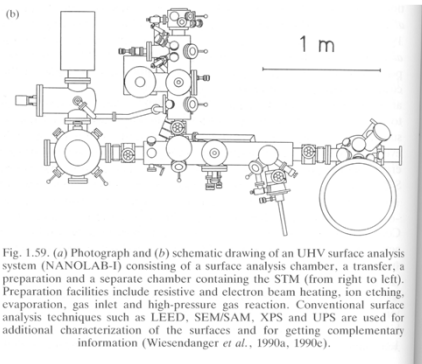
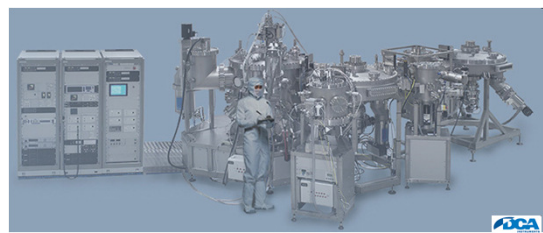


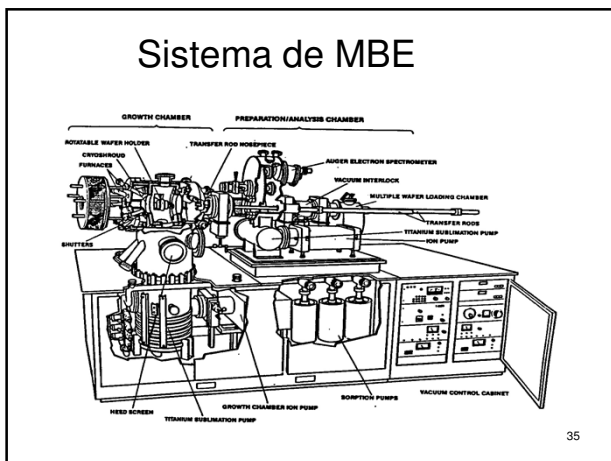
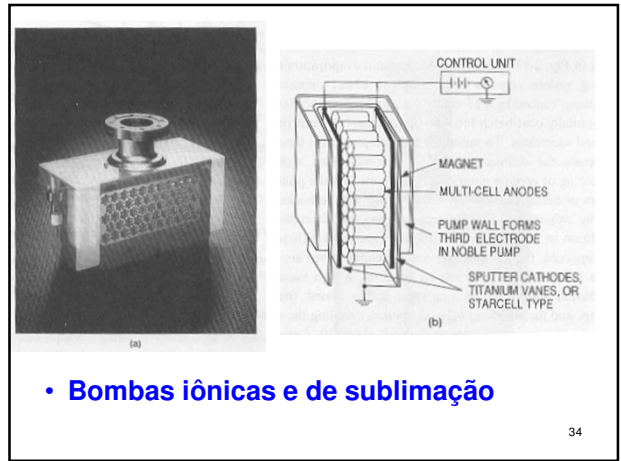
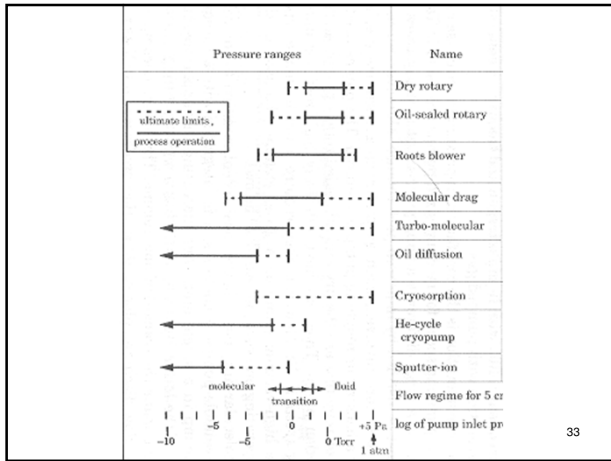
Fig. 1.59. (a) Photograph and (b) schematic drawing of an UHV surface analysis system (NANOLAB-1) consisting of a surface analysis chamber, a transfer, a preparation and a separate chamber containing the STM (from right to left). Preparation facilities include resistive and electron beam heating, ion etching, evaporation, gas inlet and high-pressure gas reaction. Conventional surface analysis techniques such as LEED, SEM/SAM, XPS and UPS are used for additional characterization of the surfaces and for getting complementary information (Wiesendanger *et al.*, 1990b, 1990c).

31

Sistema de MBE



32



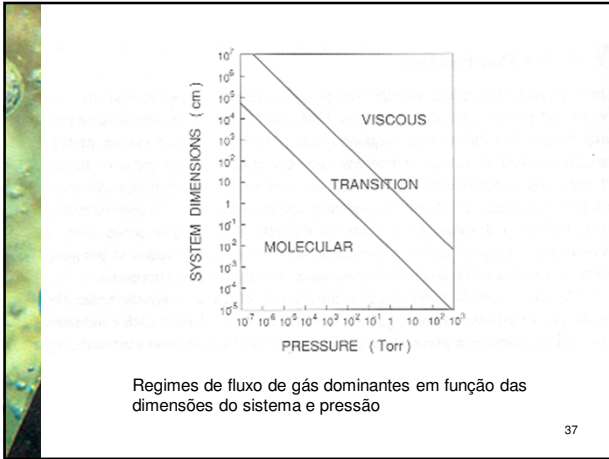
Regimes de escoamento

$$Kn = \frac{l}{L}$$

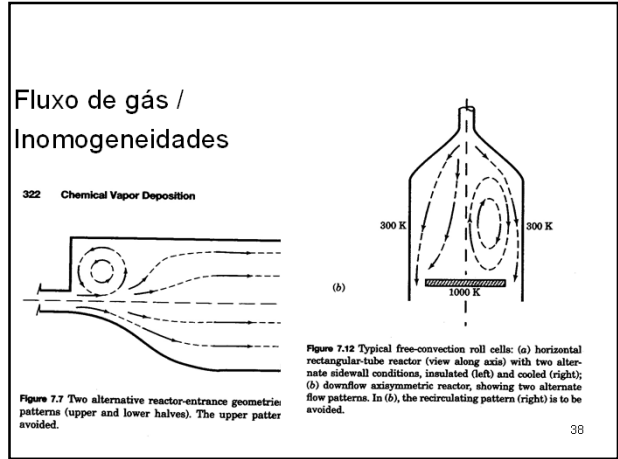
l = livre caminho médio
L = tamanho do sistema

- Número de Knudsen
- $Kn > 1$ – alto vácuo, colisões molécula-paredes
- $Kn \ll 0,01$ – fluxo de fluido, colisões molécula-molécula
- $0,01 \ll Kn < 1$ – regime intermediário

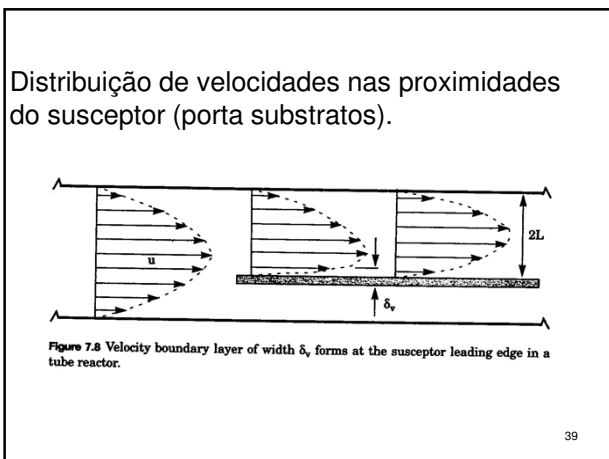
36



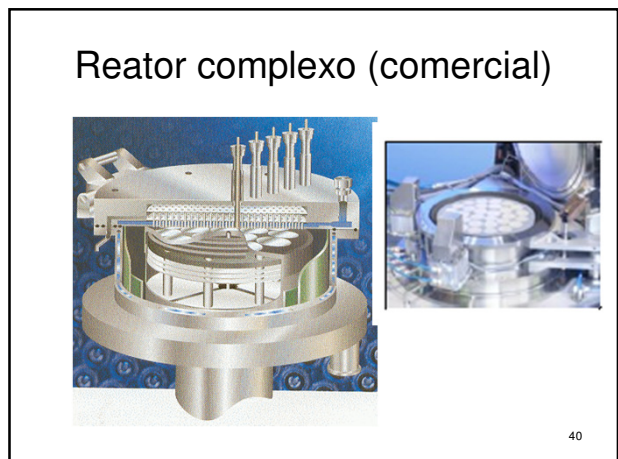
37



38



39



40

Linhas de
fluxo de
gás /
simetria
axial

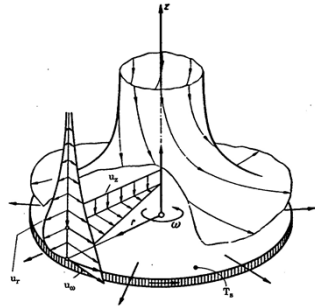
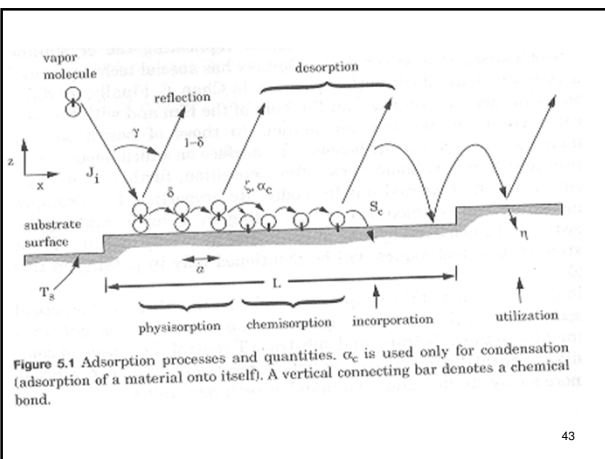


Figure 7.10 Axisymmetric flow pattern over a rotating disc. (Source: Reprinted from Ref. 7 by permission, © 1968 by McGraw-Hill Book Co.)

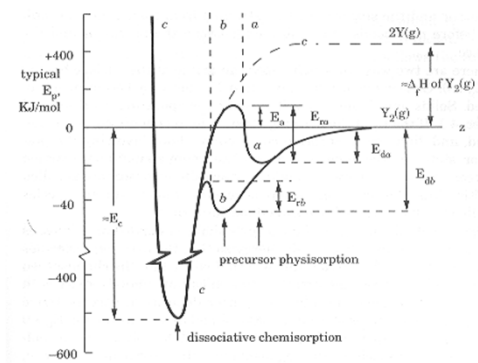
41

Contaminação / Tratamento de Superfícies

42



43



Adsorção (fisorção) ↔ Ligação (quimisorção)

44



Tratada a adsorção na superfície,
podemos falar algo sobre a remoção...
Sputtering de limpeza
Plasma etch...

Dizer que a contaminação pode vir
também do gás do processo...
Outgassing...

45



Outgassing...

Mostrar o que fazemos para minimizar...
Nanochem purifilter... (foto)

46